

# I-167 鋼床版台形箱桁の断面変形とダイアフラム

東京大学工学部 正会員 朝村敏憲  
○川崎重工業 (株) 正会員 坂井藤一

## 1. まえがき

箱型ばかりに偏心荷重の作用する時、その断面輪郭形状の変化はよりの挙動に重要な影響があり、ダイアフラムの効果がそのような現象と密接に関連していることはすでに知られている。著者らは先に矩型ばかりの場合について、このような断面変形挙動と中間ダイアフラムの特性を明確化し、少數のダイアフラム配置によって膜理論の成立が保証されることを数値上<sup>1)</sup>ならびに実験上<sup>2)</sup>において示した。

本報告は前論文に続いて、単一台型ばかりの断面変形を含む基本方程式を導き、台型ダイアフラムの取扱いについて述べ、さらに若干の数値計算を行ったものである。ここで導いた方程式は鋼床版フランジのようなりづけ付平板の存在する場合も解析可能であり、また矩型断面の場合も特別な場合として含むことによって従来のものより一般的な箱型ばかりに適用され得る。

台型箱桁を取扱つて既往のこの種の研究は極めて少ないが、一般座標法による折板理論に基づくもの<sup>3)</sup>および張殻構造理論に基づくものがある。本論も前者の一般座標法に基づくものであるが、断面の複雑な形状を取り扱うために、一般座標の決定に際し直交条件からではなく物理的考慮から定め、膜理論が成立するものと見て理論の簡易化を意図した。

## 2. 基本方程式の誘導

図-1に示すようなりづけ付台形断面を対象にしよう。次の条件を設定する。

仮定1. 断面は一軸対称とする。

仮定2. 縦リブは断面輪郭中心線上に集中して存在する。

桁軸方向座標 $x$ および断面輪郭線方向座標 $s$ を選び、それぞれの方前への変位 $u$ および $v$ を次のように仮定する。

$$u(z, s) = \sum_{i=1}^4 \varphi^{(i)}(s) U_i(z) \quad (1)$$

$$v(z, s) = \sum_{j=1}^4 \psi^{(j)}(s) V_j(z) \quad (2)$$

すなわち、各方向変位共4自由度を有するとして、 $\varphi^{(i)}$ 、 $\psi^{(j)}$  は一般座標であり、 $U_i$ および $V_j$ は一般変位である。

一般座標 $\varphi^{(i)}$ を図2のようになるとならば、一般変位 $U_i$ の物理的意味は次のようになる。

$U_1$  : 軸引張(圧縮)変位量

$U_2$  :  $x$ 軸まわりの断面回転量

$U_3$  :  $y$ 軸まわりの断面回転量

$U_4$  : 断面のゆがみ率 —— 曲げ捩り理論の捩り率に相当する。

ここで、 $d_1$  および $d_2$  は次の直交条件より決定する。

$$\oint \psi^{(3)} \psi^{(4)} dA = 0 \quad (3)$$

一般座標  $\psi^{(4)}$  を図-3 のようにとるならば、一般変位  $V_i$  の物理的意味は次のようになる。

$V_1$  : 断面の回転角 (捩り角)

$V_2$  :  $y$  軸方向の重心たわみ量

$V_3$  :  $x$  軸方向の重心たわみ量

$V_4$  : 断面の (せん断) 変形率

ここで、せん断中心  $S(0, y_s)$  は次の直交条件

$$\oint \psi^{(1)} \psi^{(3)} t ds = 0 \quad (4)$$

によって、また断面変形のパターンを示す  $\beta_1$  および  $\beta_2$  は次の条件より決定する。

$$\oint \psi^{(3)} \psi^{(4)} t ds = 0, \quad \oint \psi^{(4)} t ds = 0 \quad (5)$$

以上のように仮定された変位関数に対し仮想仕事の原理を適用して、結局次のような基本方程式を導くことができる。

$$EFU_1'' + P_1 = 0 \quad (6)$$

$$EI_x U_2'' - GF_w(U_2 + V_2') + P_2 = 0 \quad (7)$$

$$EJ_y U_3'' - GF_f(U_3 + V_3') + P_3 = 0 \quad (8)$$

$$EJ_w U_4'' - G\{B_{44}U_4 - B_{34}(U_3 + V_3') - C_{41}V_1' - C_{44}V_4'\} + P_4 = 0 \quad (9)$$

$$G(C_{41}U_4' + D_{11}V_1'' + D_{14}V_4'') + q_1 = 0 \quad (10)$$

$$GF_w(U_2 + V_2'') + q_2 = 0 \quad (11)$$

$$G\{F_f(U_3' + V_3'') + B_{34}U_4\} + q_3 = 0 \quad (12)$$

$$G(C_{44}U_4' + D_{14}V_1' + D_{44}V_4'') + q_4 = 0 \quad (13)$$

ここで  $P_1 \sim P_4$  および  $q_1 \sim q_4$  は荷重項で、すり荷重に対しては、

$$P_1 = P_2 = P_3 = P_4 = q_2 = q_3 = 0 \quad (14)$$

であるから、式 (8), (9), (10), (12), (13) の連成問題を解けばよい。

### 3. ダイアフラムの取扱い

ダイアフラムはその面内剛性のみ考慮する。ダイアフラムは断面変形  $V_4$  に拘束し、十分剛ならば

$$V_4(Z = Z_D) = 0$$

となる。ダイアフラムに作用する応力は、ダイアフラムから桁への反力  $Q_D$  とする時次のように求められる。

$$T_h = \frac{Q_D t_D}{(b_e \beta_1 + b_u \beta_2 + 2h) d w} \quad (15)$$

### 4. 数値計算例

図-7 に示すような三種断面についての比較計算その他を行なったが、紙面の都合上詳細は省略し、当日発表する積りである。

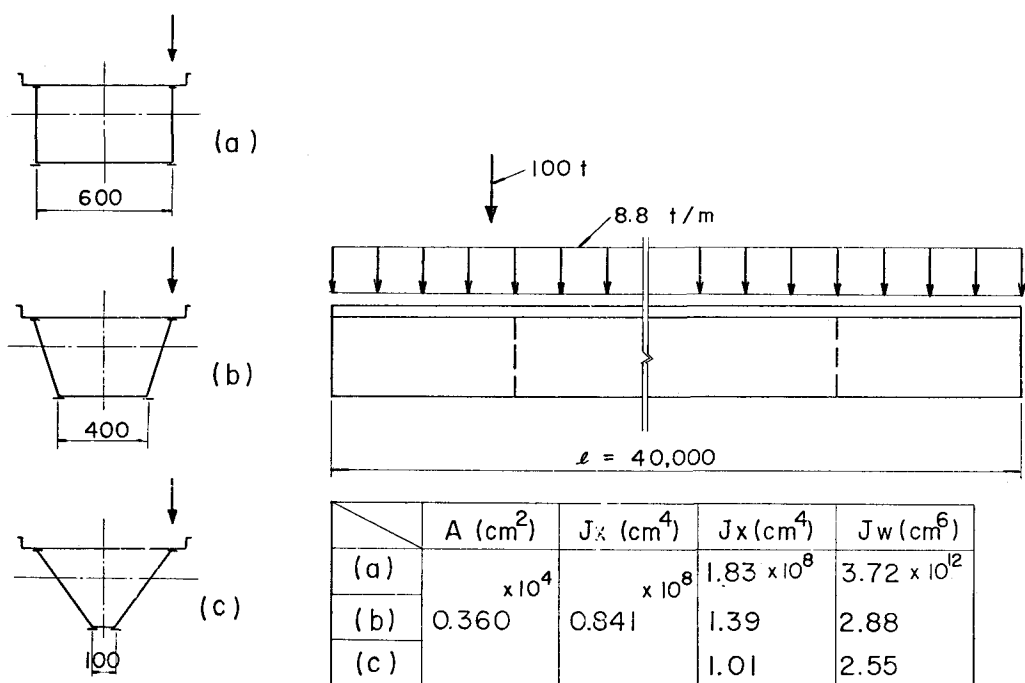
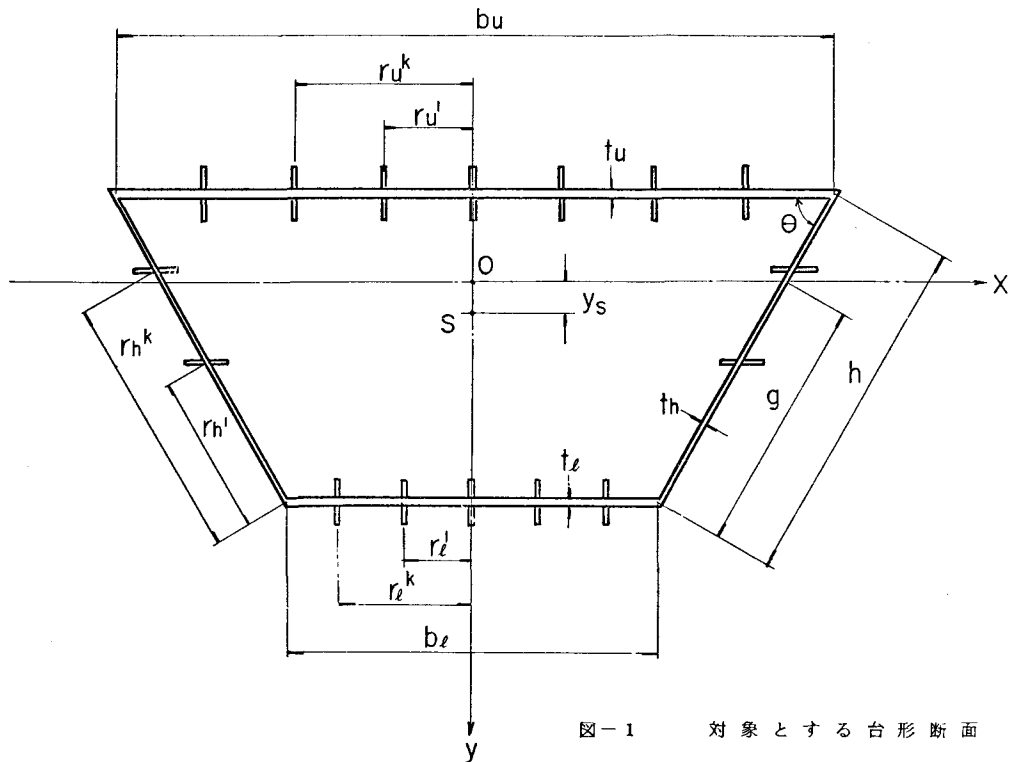


図-2 比較断面の種類

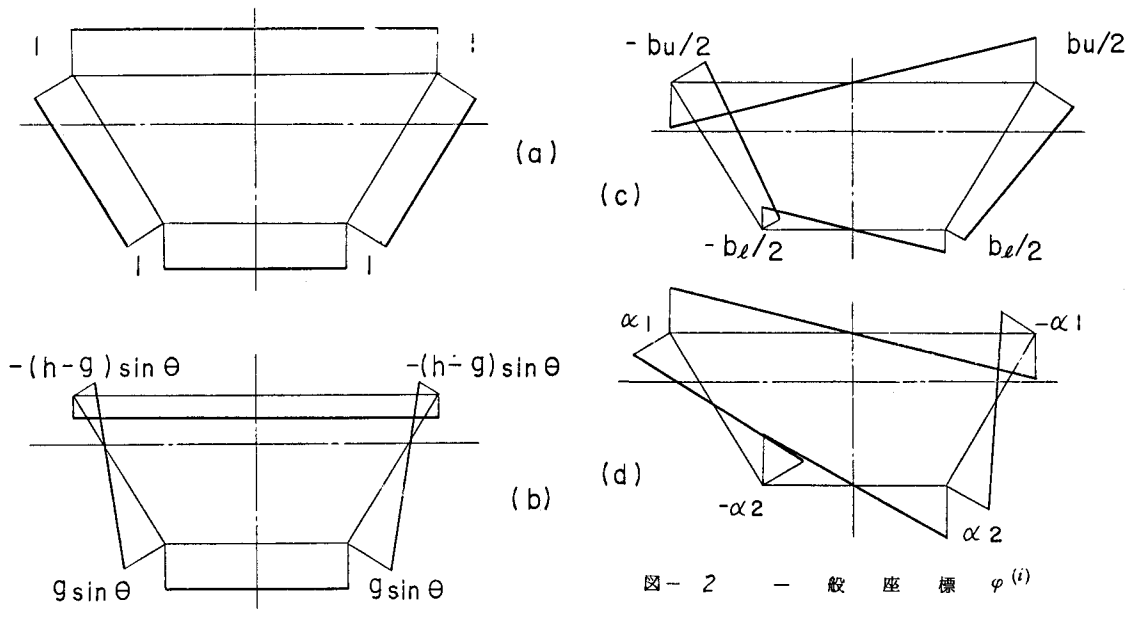


図-2 一般座標  $\varphi^{(i)}$

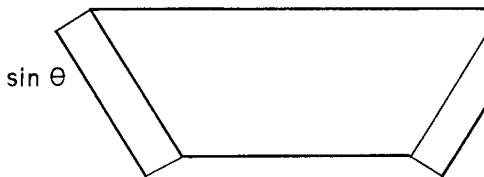
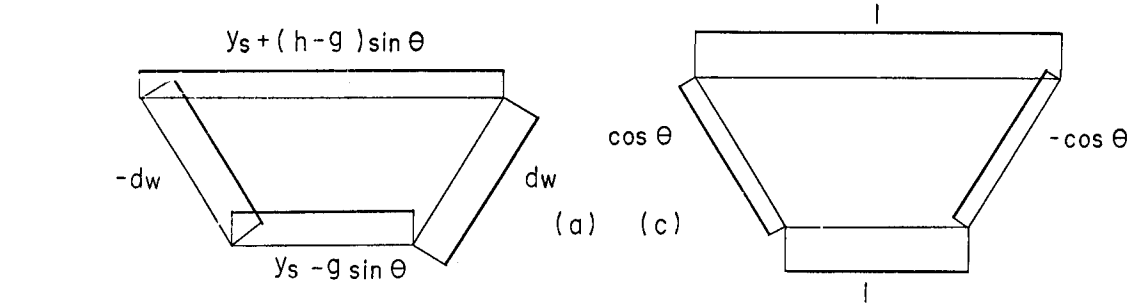


図-3 一般座標  $\psi^{(j)}$

### 5. 参考文献

- 1.) 奥村敏恵, 坂井藤一 : 箱型はりの断面変形と中間ダイアフラム, 46. 6,  
土木学会論文報告集
- 2.) Abdel-Samad,S.R., et.al. : Analysis of Box Girders with Diaphragms,  
Oct. 1968, Proc. of ASCE, St. 10
- 3.) Richmond, B. : Twisting of thin-walled box girders of trapezoidal cross  
section, Can. 1968, Proc. of I.C.E.